

MATERIAL SUPPLEMENTAR

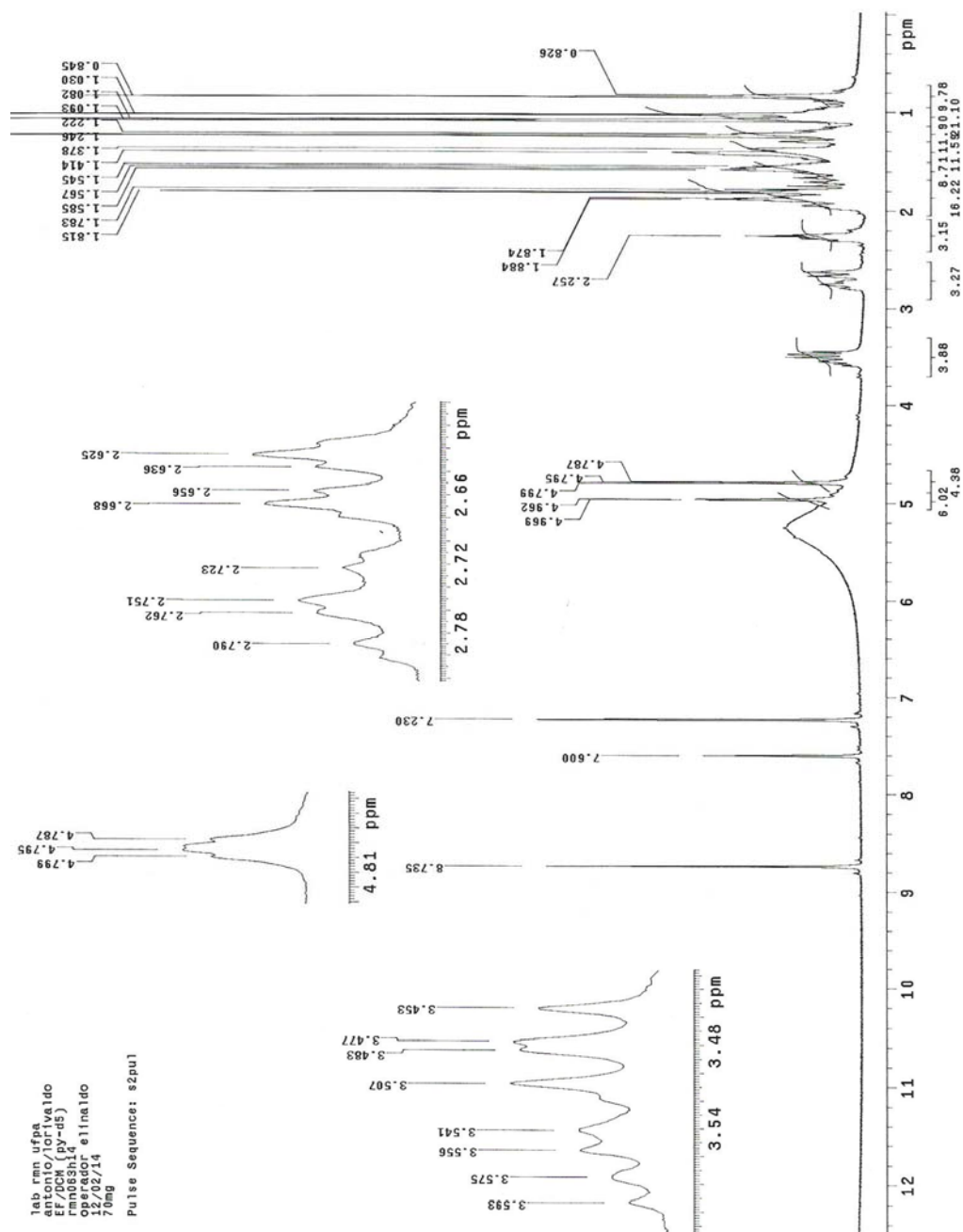


Figura 1S. Espectro de RMN de ^1H para S-1 (ppm, $\text{C}_5\text{D}_5\text{N}$, 300 MHz)

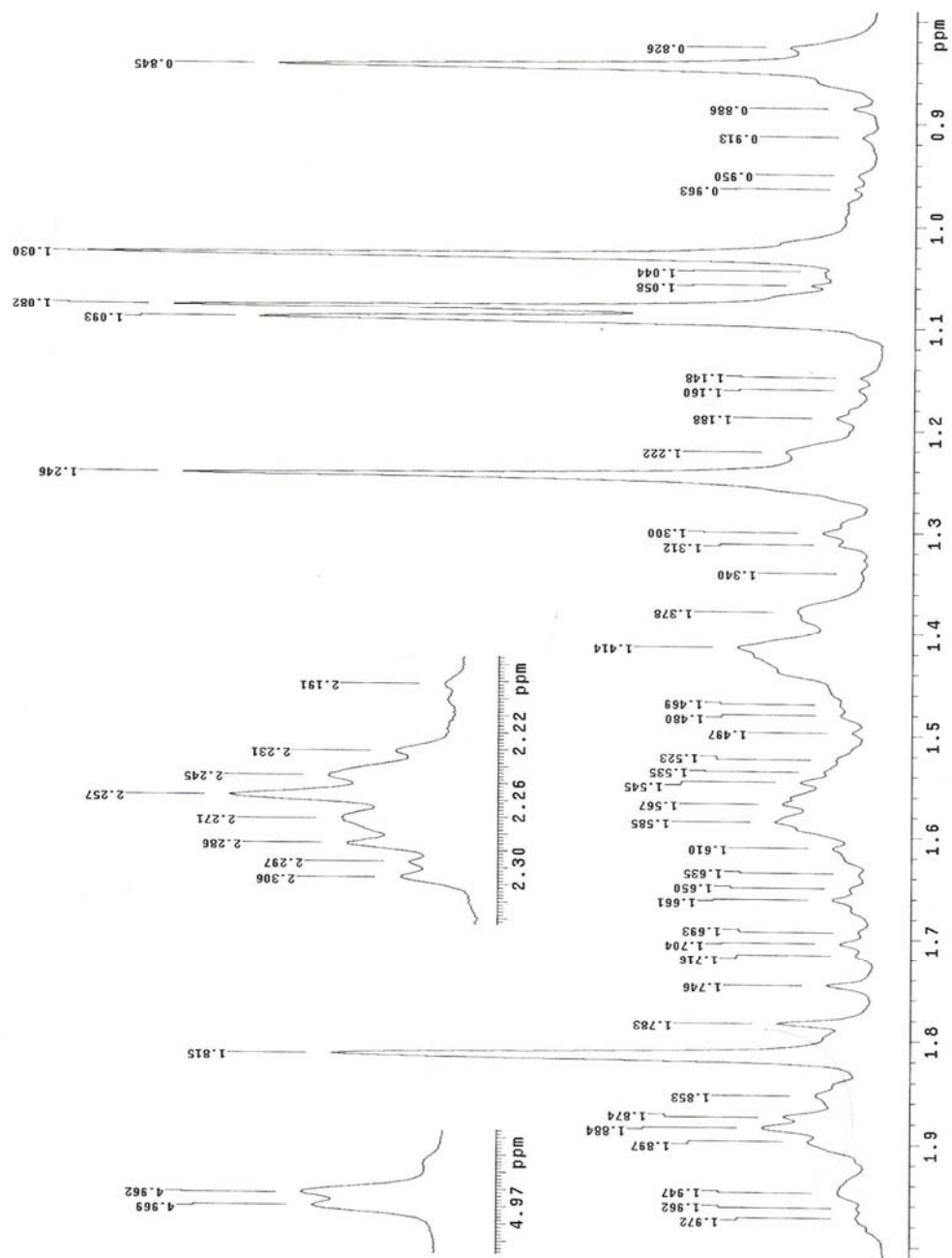


Figura 2S. Expansão do espectro de RMN de ^1H para S-1 (ppm, $\text{C}_5\text{D}_5\text{N}$, 300 MHz)

iab_rmn_urpd
entpico/lorivaldo
Ram063c14 (py-d5)
operador_ellinaido
12/02/14
70mg
Pulse Sequence: s2pu1

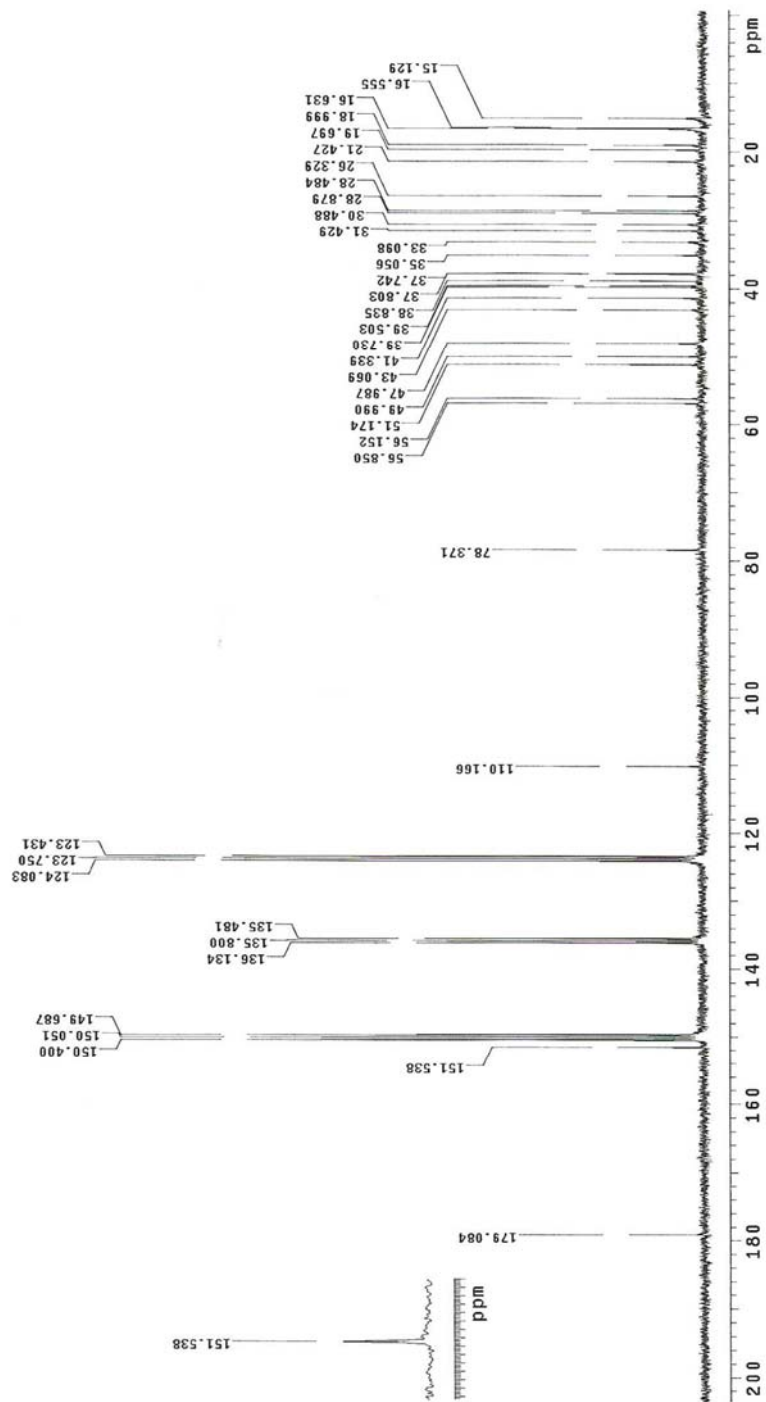


Figura 3S. Espectro de RMN de ^{13}C para S-1 (ppm, $\text{C}_5\text{D}_5\text{N}$, 75 MHz)

lab_rmn_afpa
antonio_lorivaldo
EP/DCE-09-11 (gels) PY-315
operador: a11na1do
12/02/14
70mg
tempo=1h
Pulse Sequence: dept

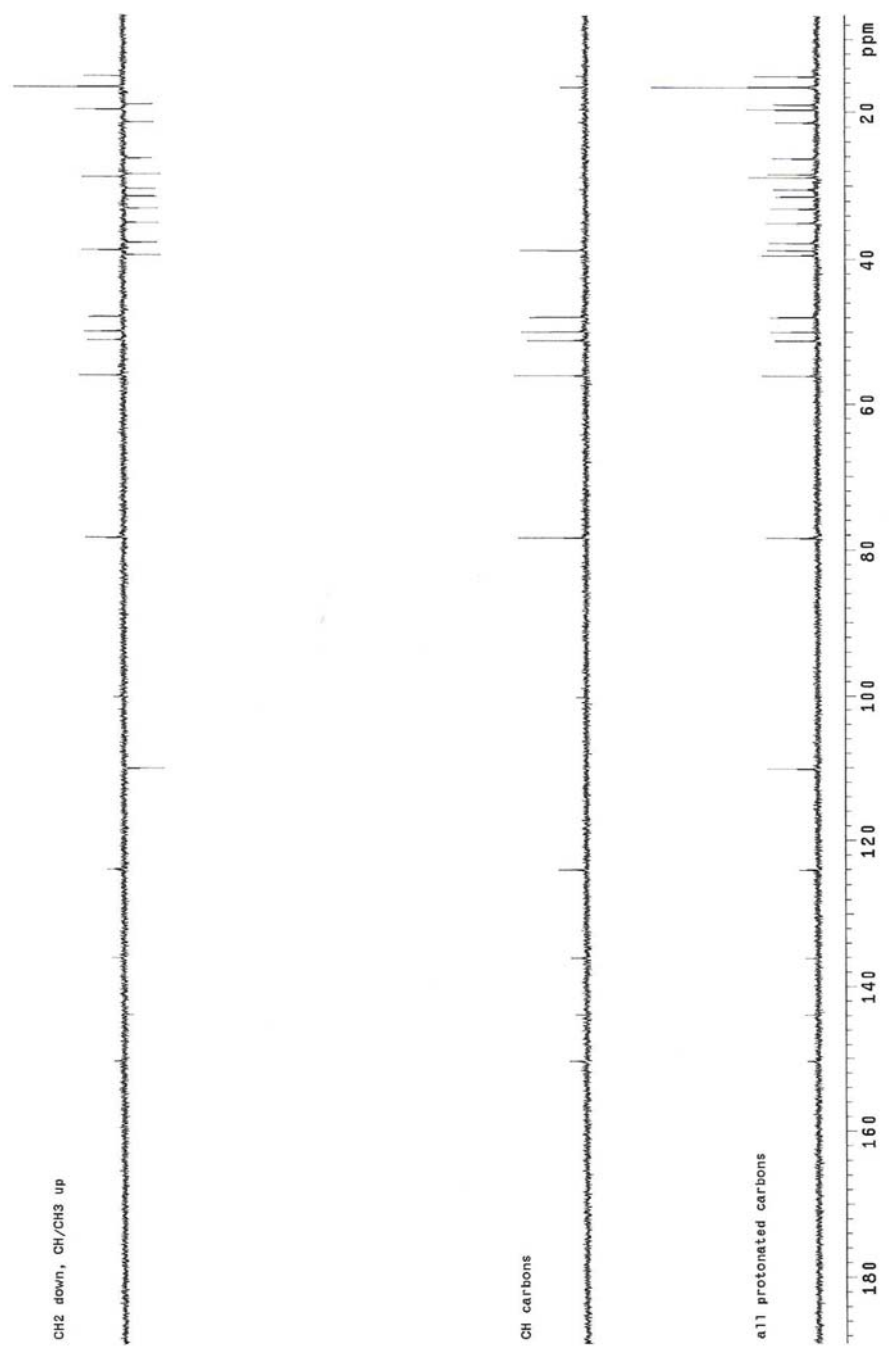


Figura 4S. Espectro de DEPT 135° para S-1 (ppm, C₅D₅N, 75 MHz)

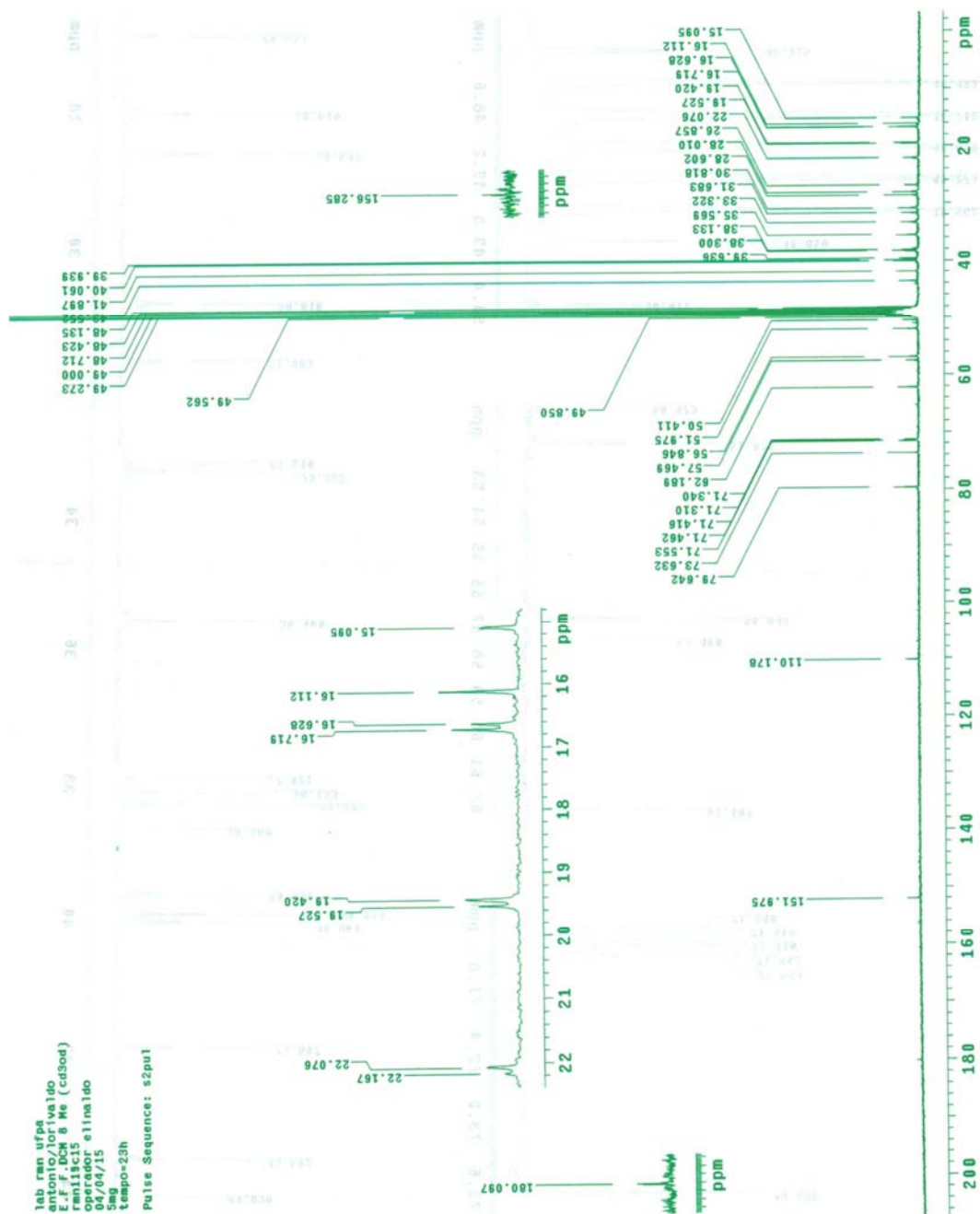


Figura 6S. Espectro de RMN de ^{13}C para S-2 (ppm, CD_3OD , 75 MHz)

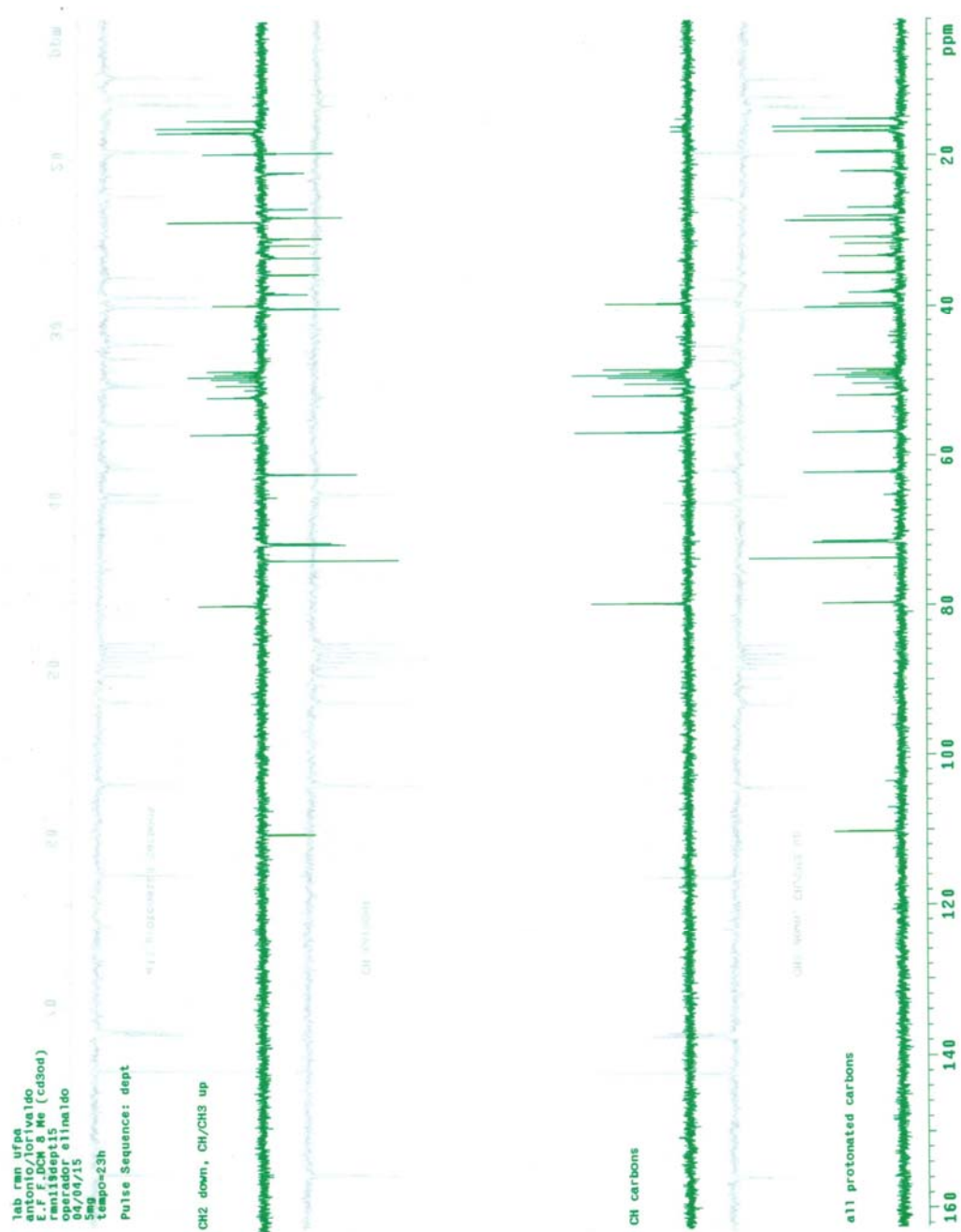
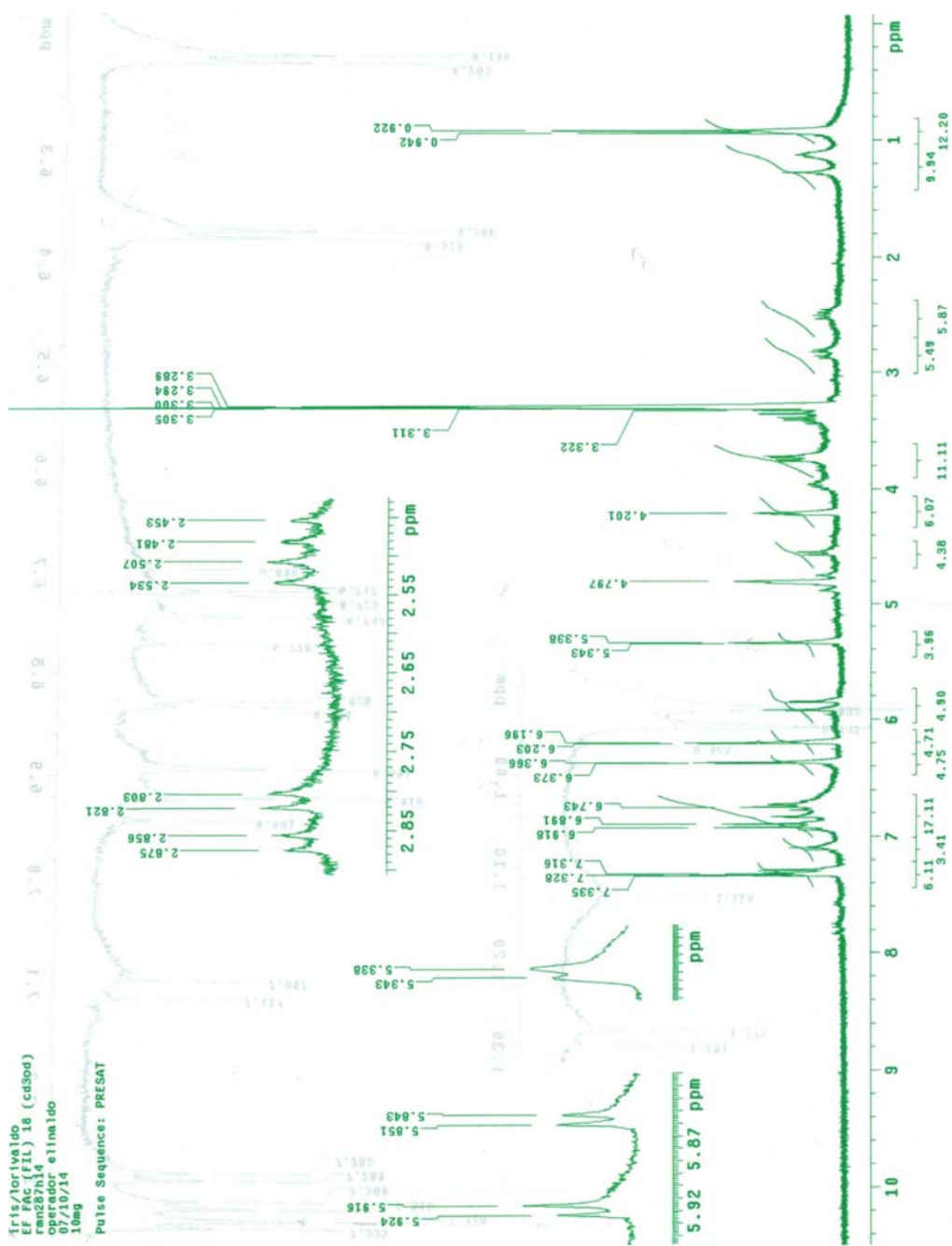


Figura 7S. Espectro de DEPT 135° para S-2 (ppm, CD₃OD, 75 MHz)



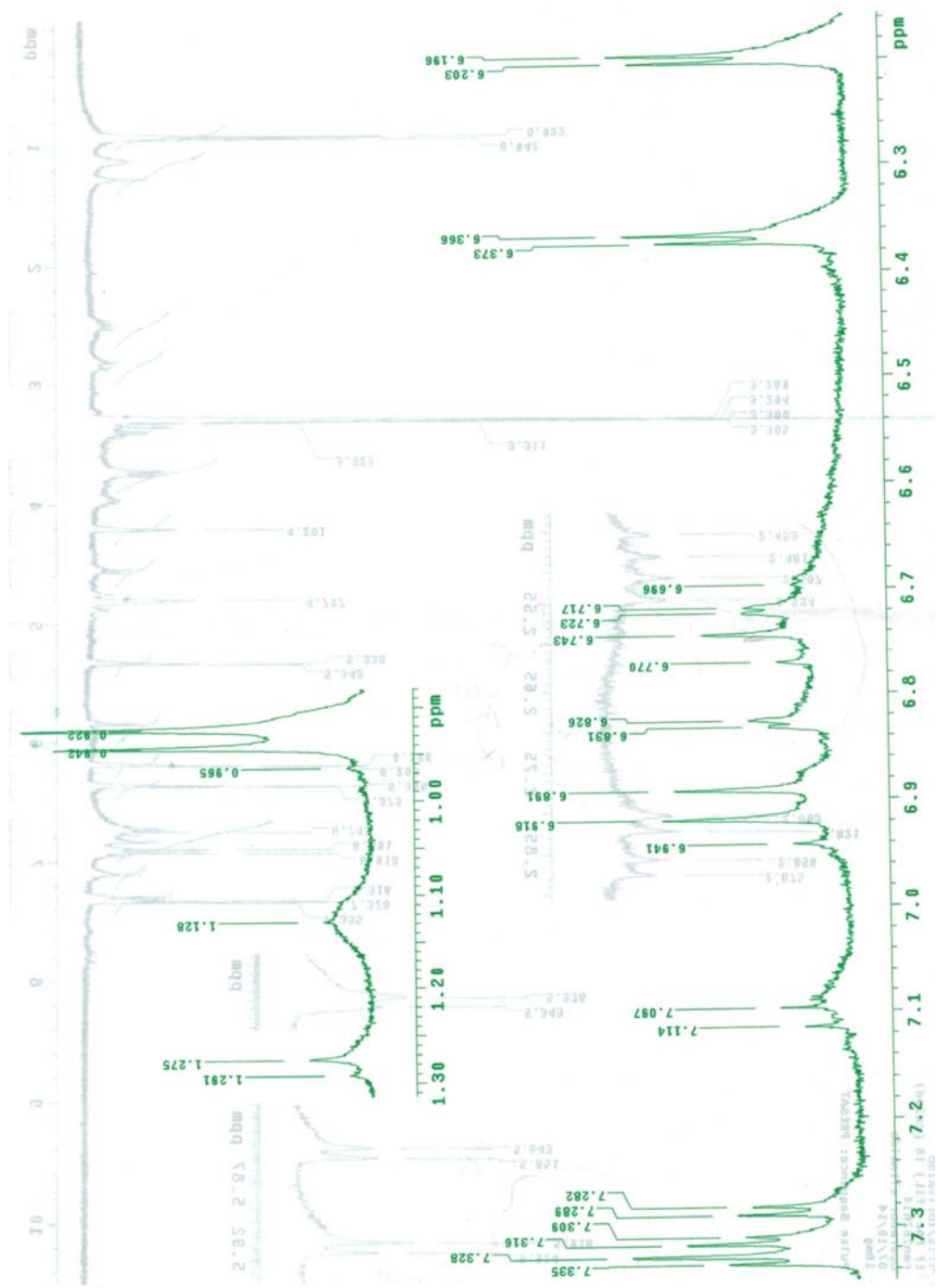


Figura 9S. Expansão do espectro de RMN de ^1H para S-3 e S-4 em mistura (ppm, CD_3OD , 300 MHz)

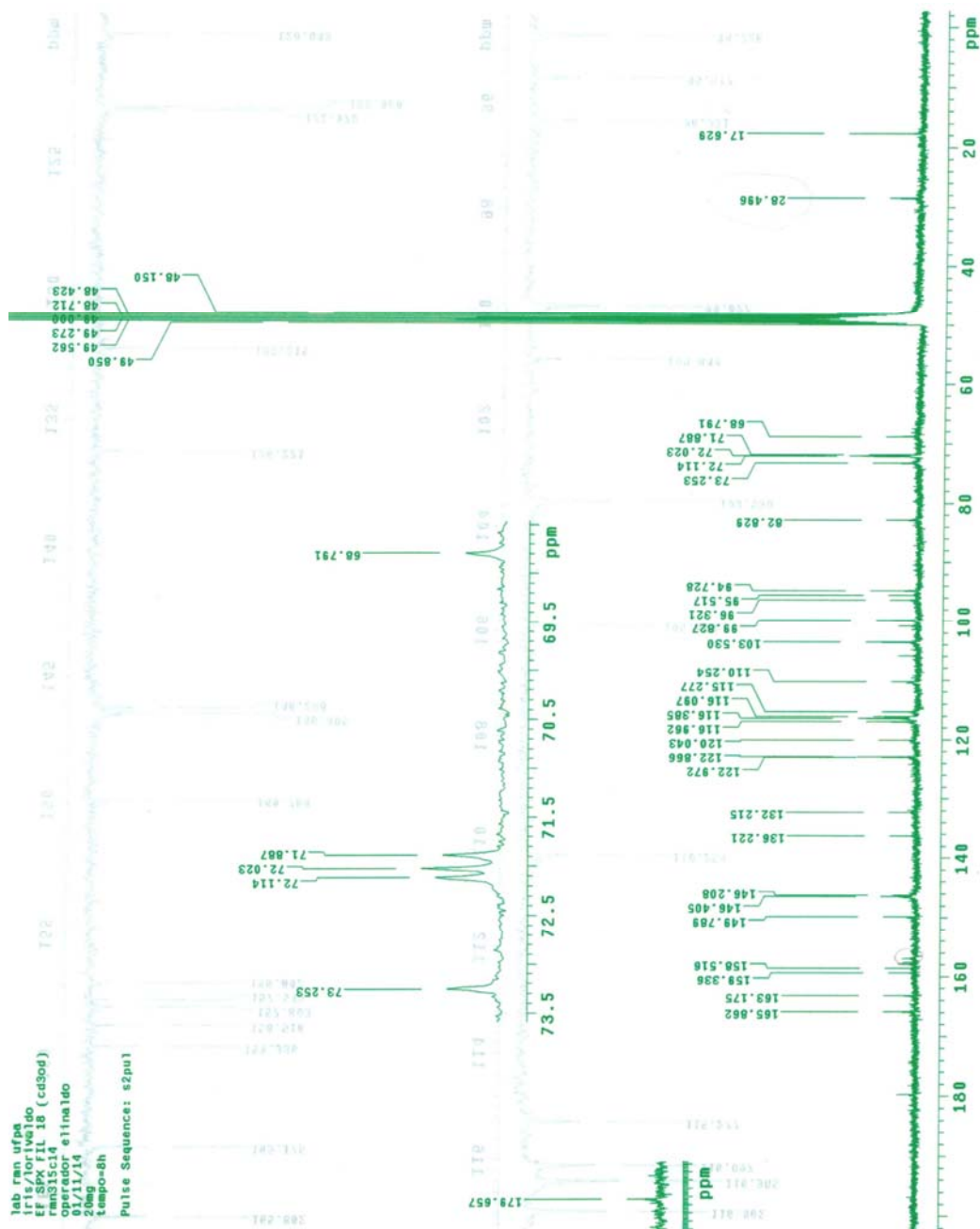


Figura 10S. Espectro de RMN de ^{13}C para S-3 e S-4 em mistura (ppm, CD_3OD , 75 MHz)

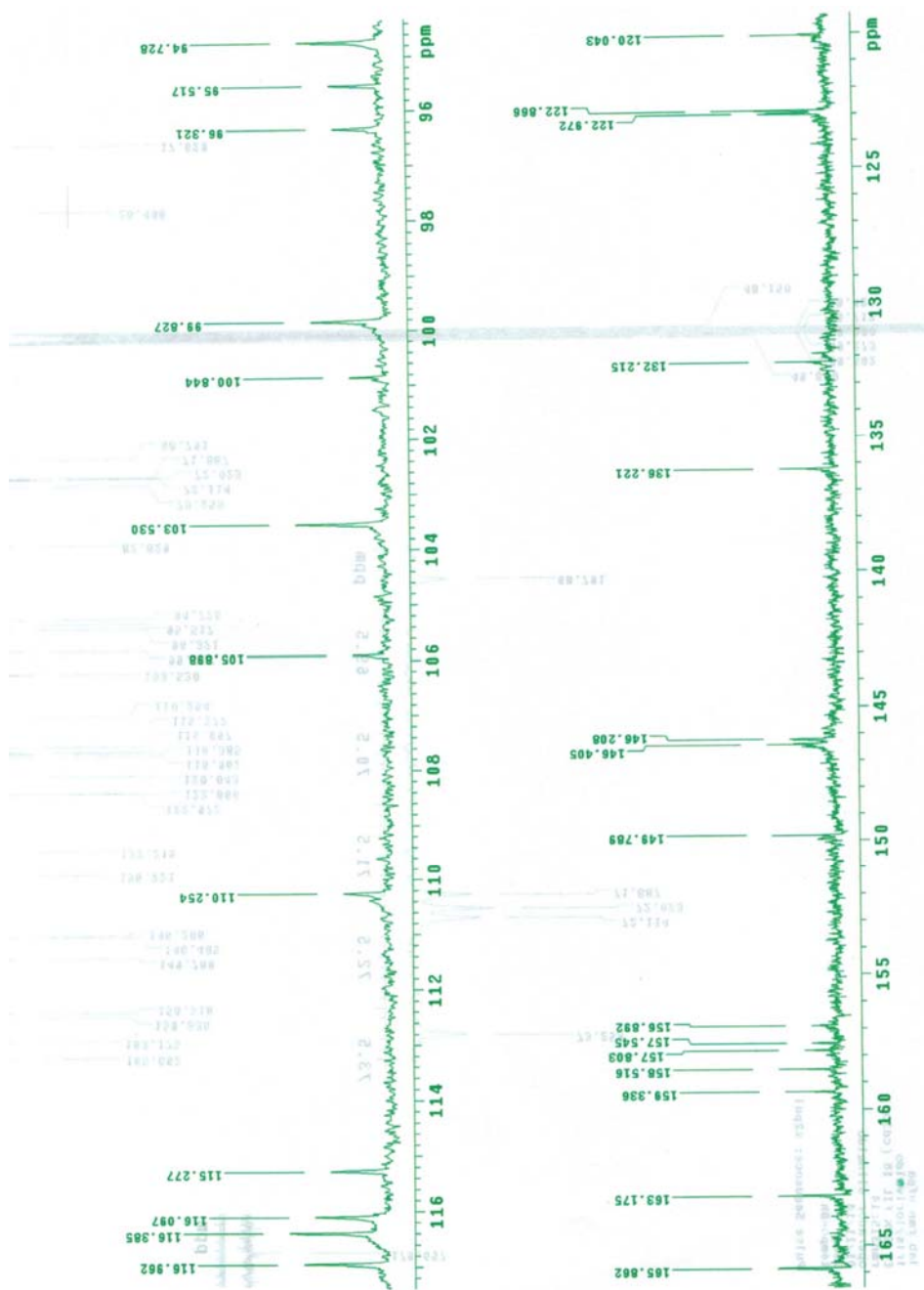


Figura 11S. Expansão do espectro de RMN de ^{13}C para S-3 e S-4 em mistura (ppm, CD_3OD , 75 MHz)

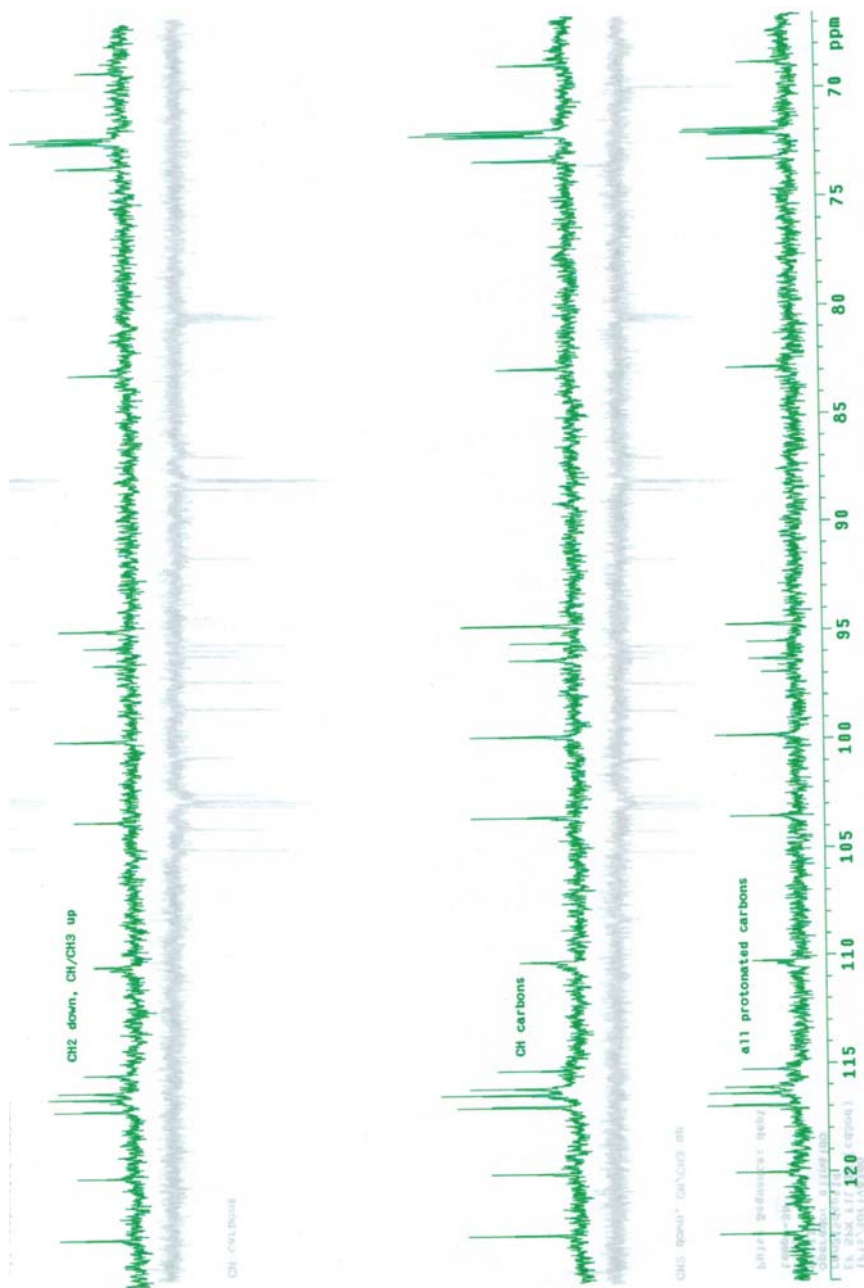


Figura 13S. Expansão do DEPT 135° para a mistura S-3 e S-4 (ppm, CD₃OD, 75 MHz)

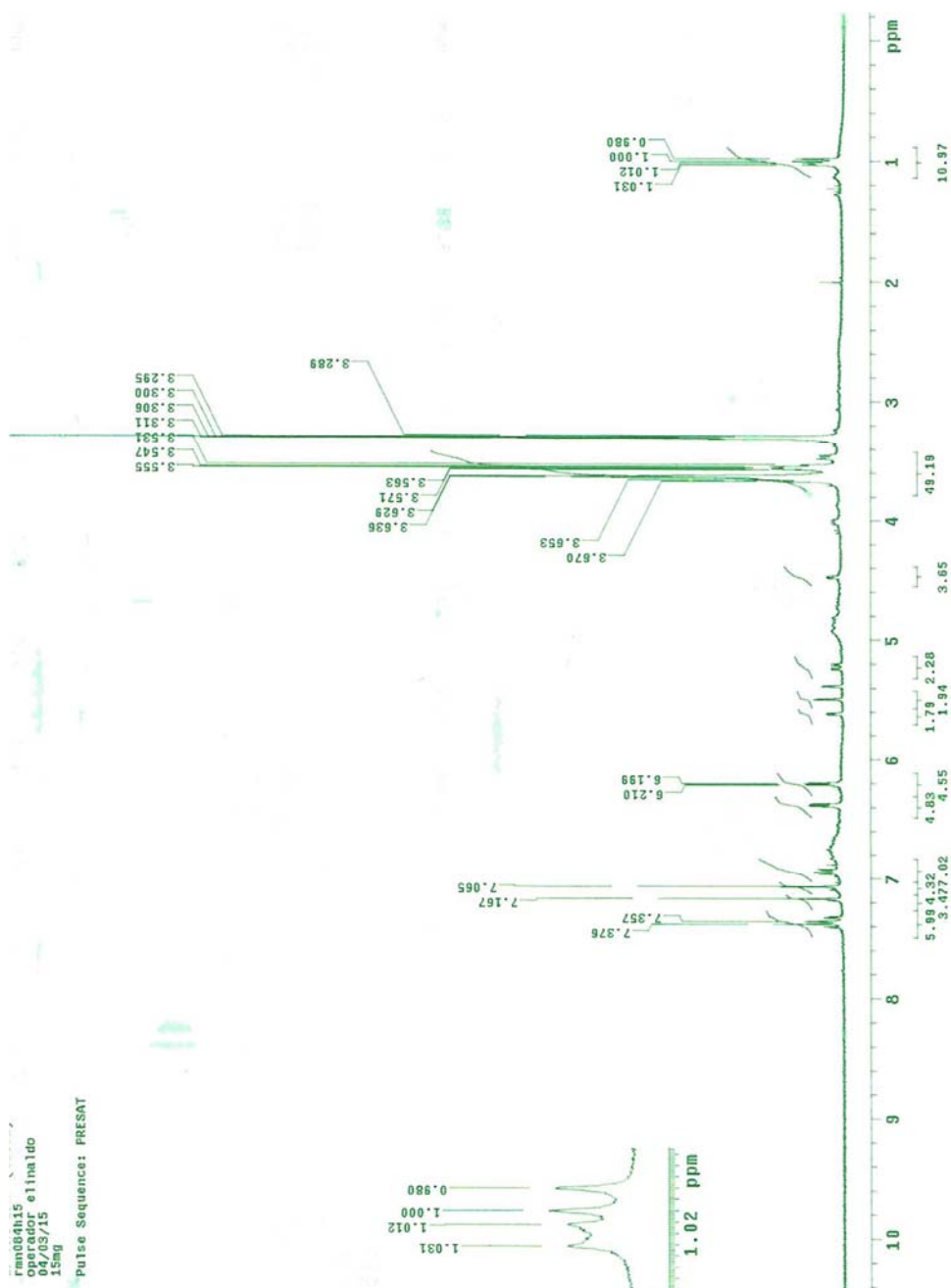


Figura 14S. Espectro de RMN de ¹H para S-5 em mistura (ppm, CD₃OD, 300 MHz)

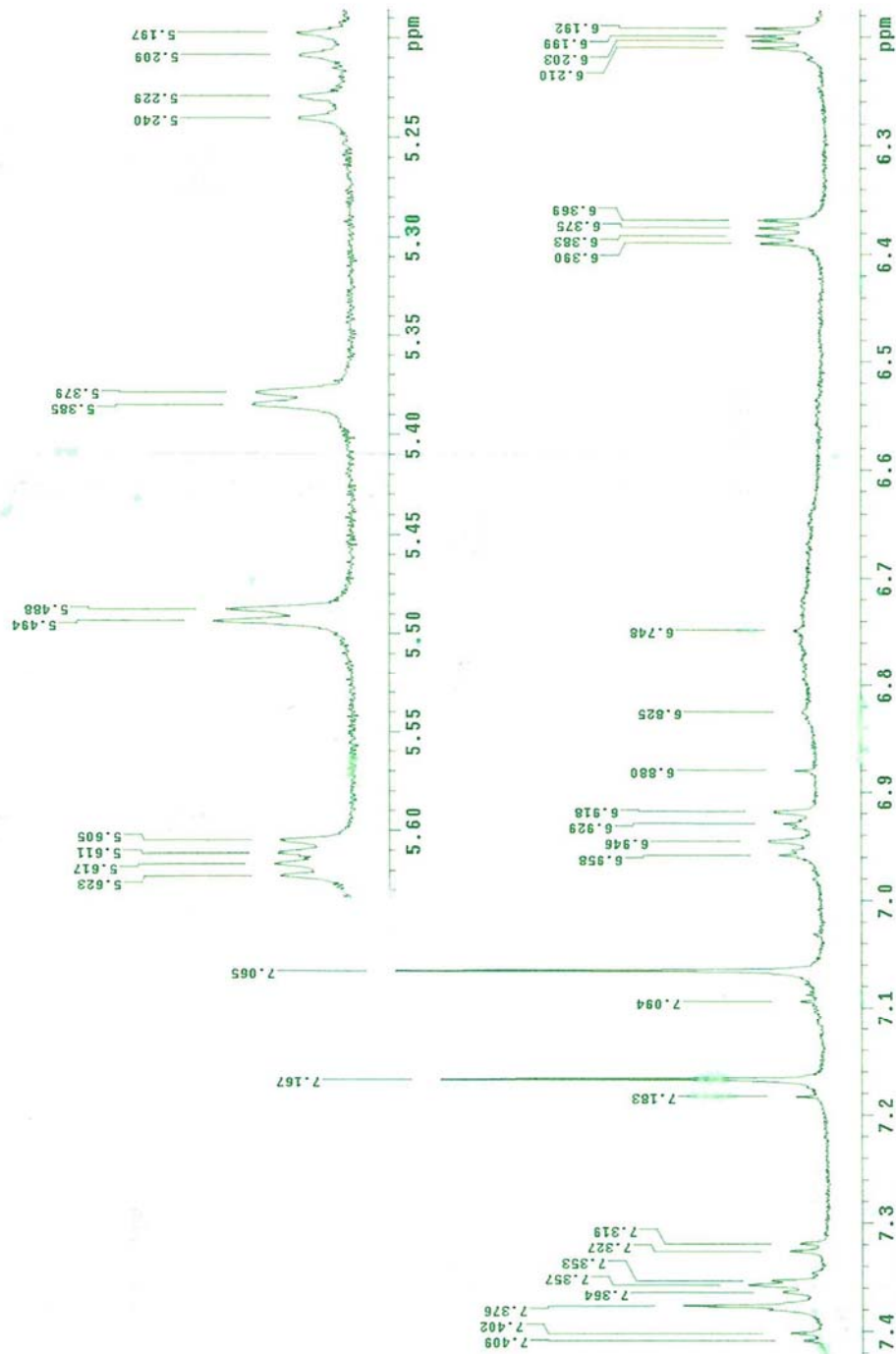


Figura 15S. Expansão do RMN de ^1H para S-5 em mistura (ppm, CD_3OD , 300 MHz)

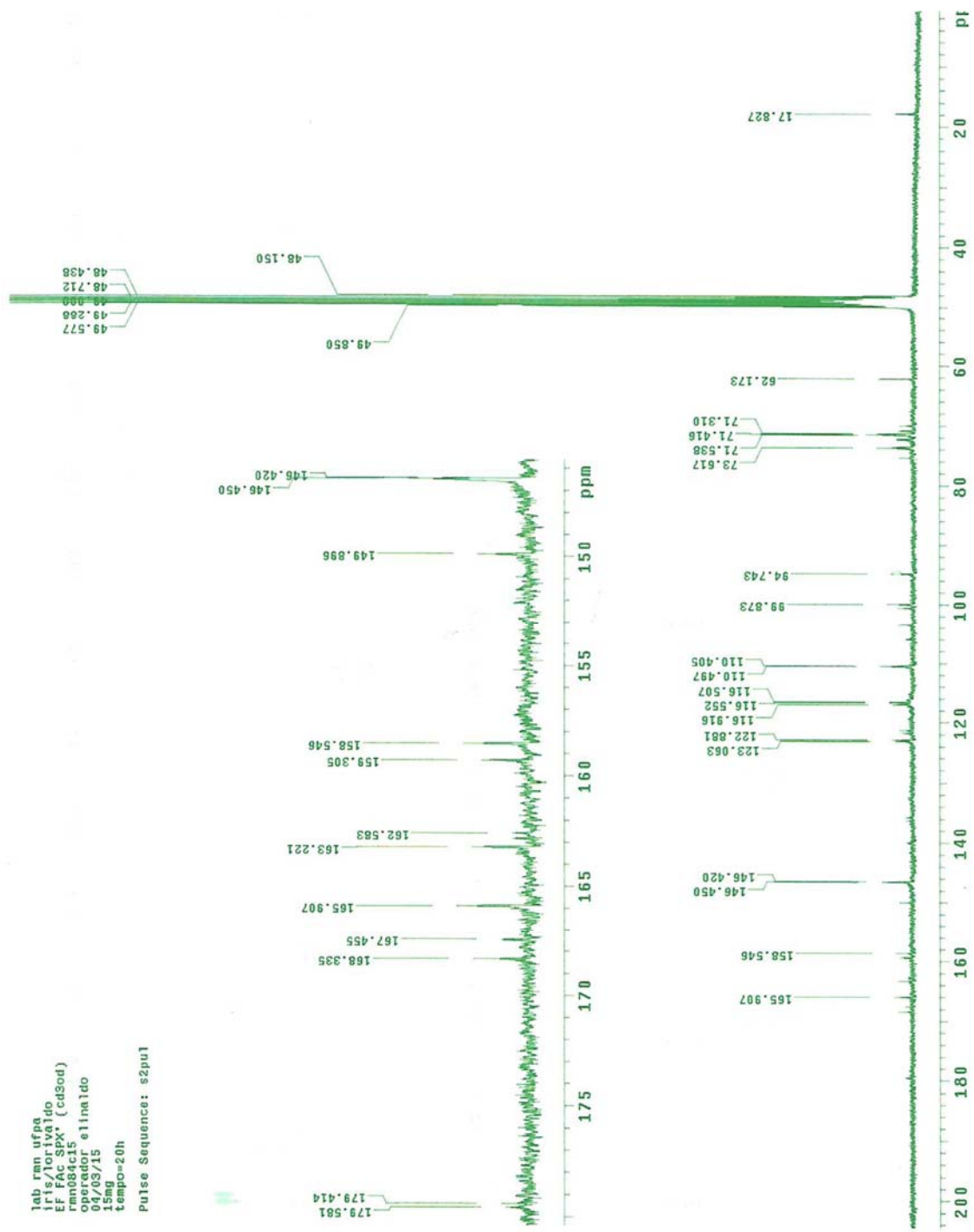


Figura 16S. Espectro de RMN de ^{13}C para S-5 em mistura (ppm, CD_3OD , 75 MHz)

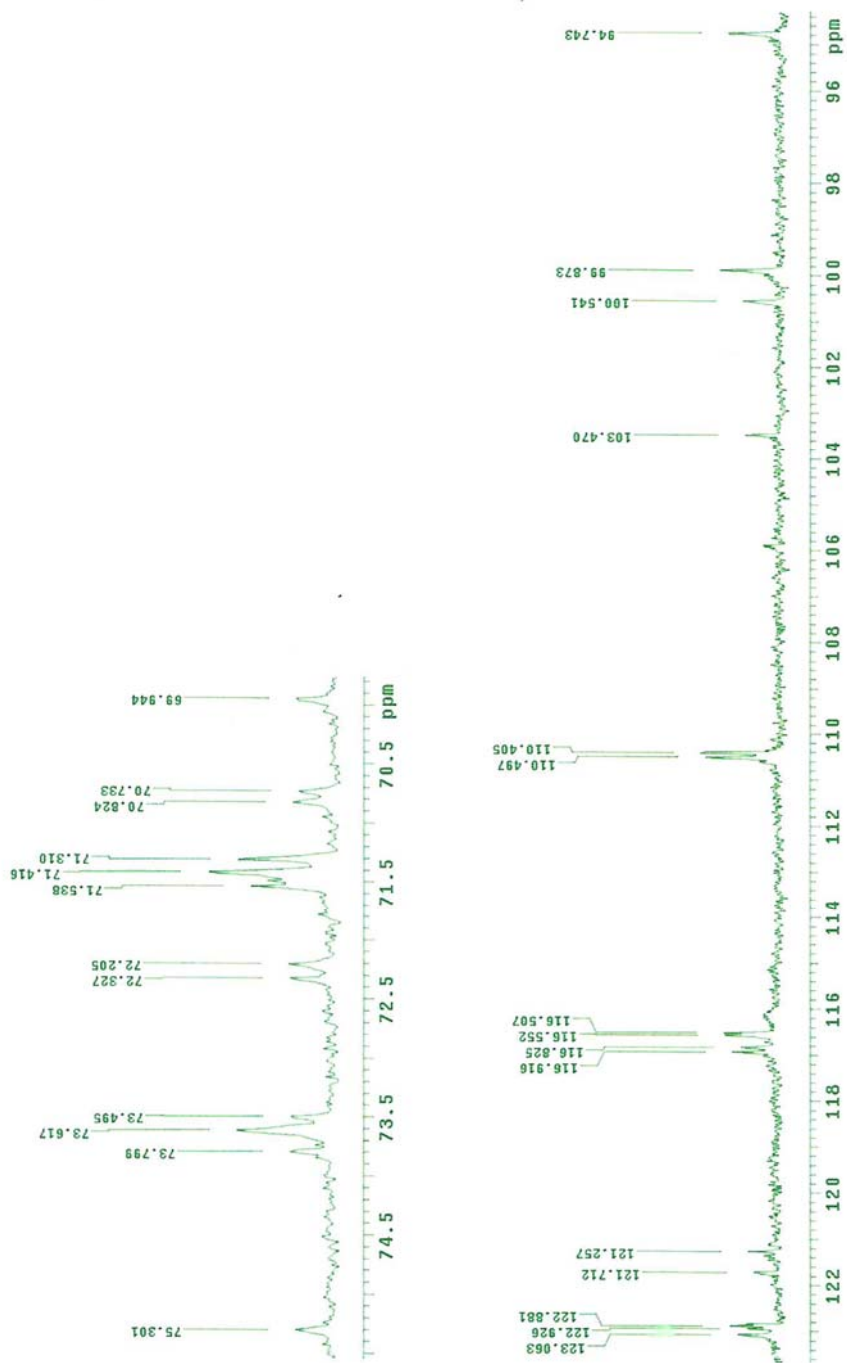


Figura 17S. Expansão do espectro de RMN de ^{13}C para S-3 e S-4 em mistura (ppm, CD_3OD , 75 MHz)

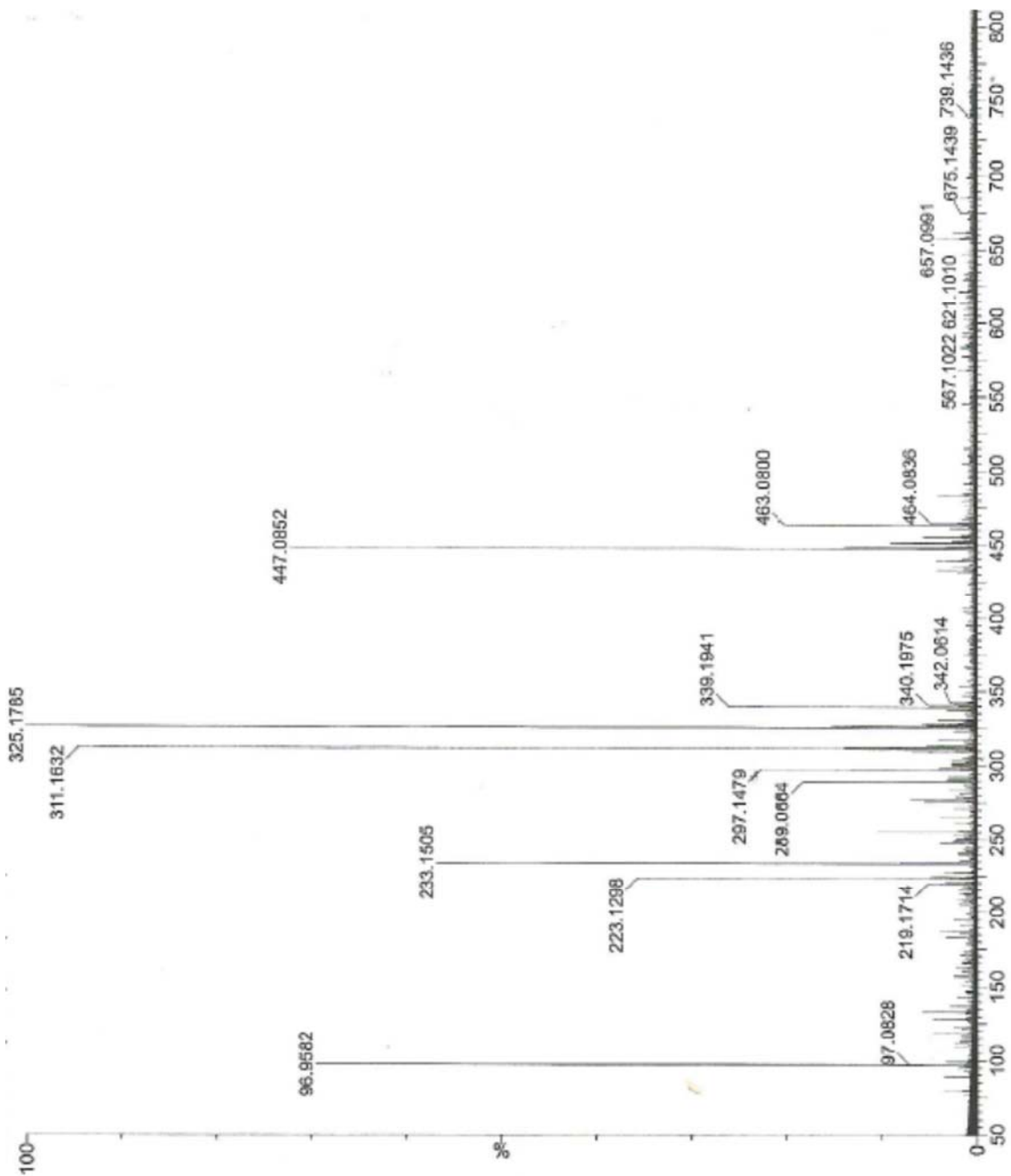


Figura 18S. Espectro de massas de alta resolução, para a mistura de flavonoides, pico do íon m/z 4473,0852 $[M - H]^-$ para S-3, pico do íon molecular m/z 289,0664 $[M - H]^-$ para S-4 e pico do íon molecular m/z 463,0800 $[M - H]^-$ para S-5 na mistura

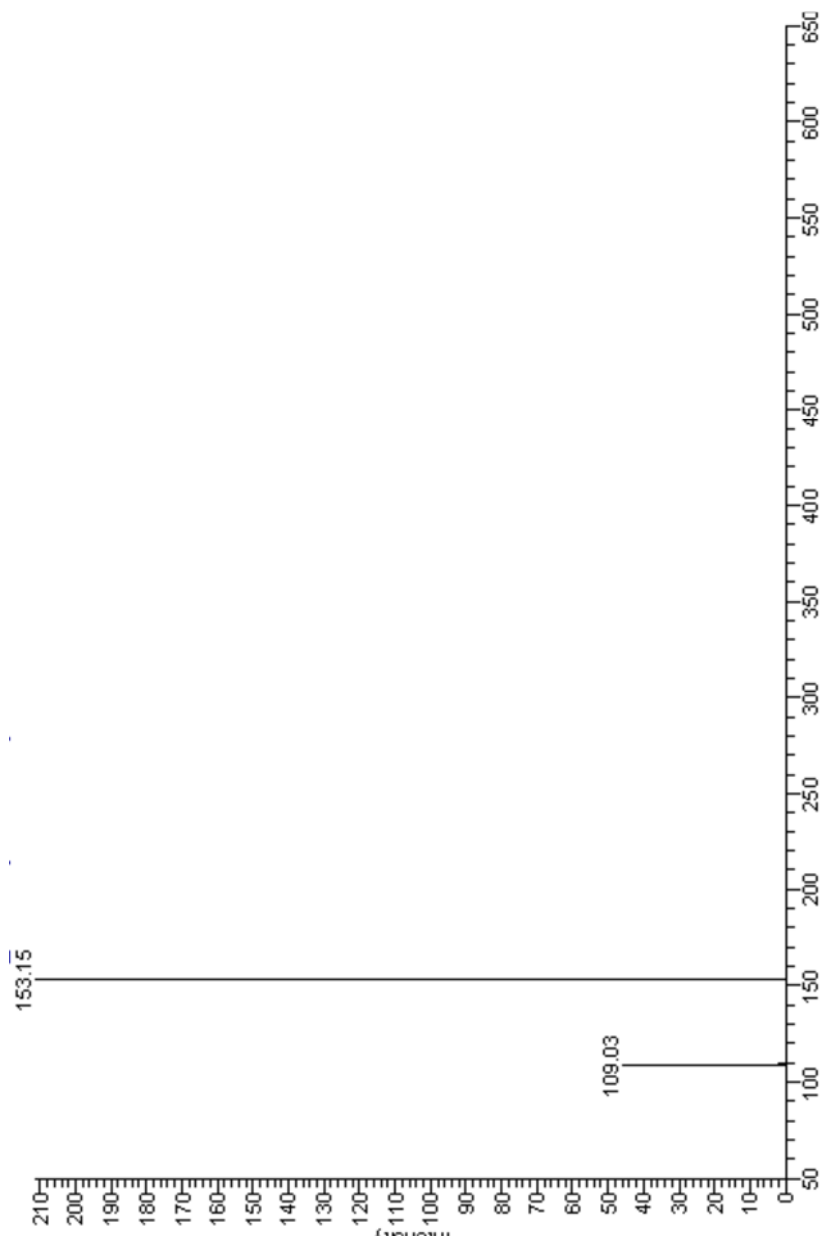


Figura 19S. Espectro de massas, pico do íon molecular m/z 153,15 $[M-H]^-$ e fragmento MS^2 para o ácido protocatecuico, presente nas frações FA 8, Spx 14 e Spx 37 de *E. flavescens*

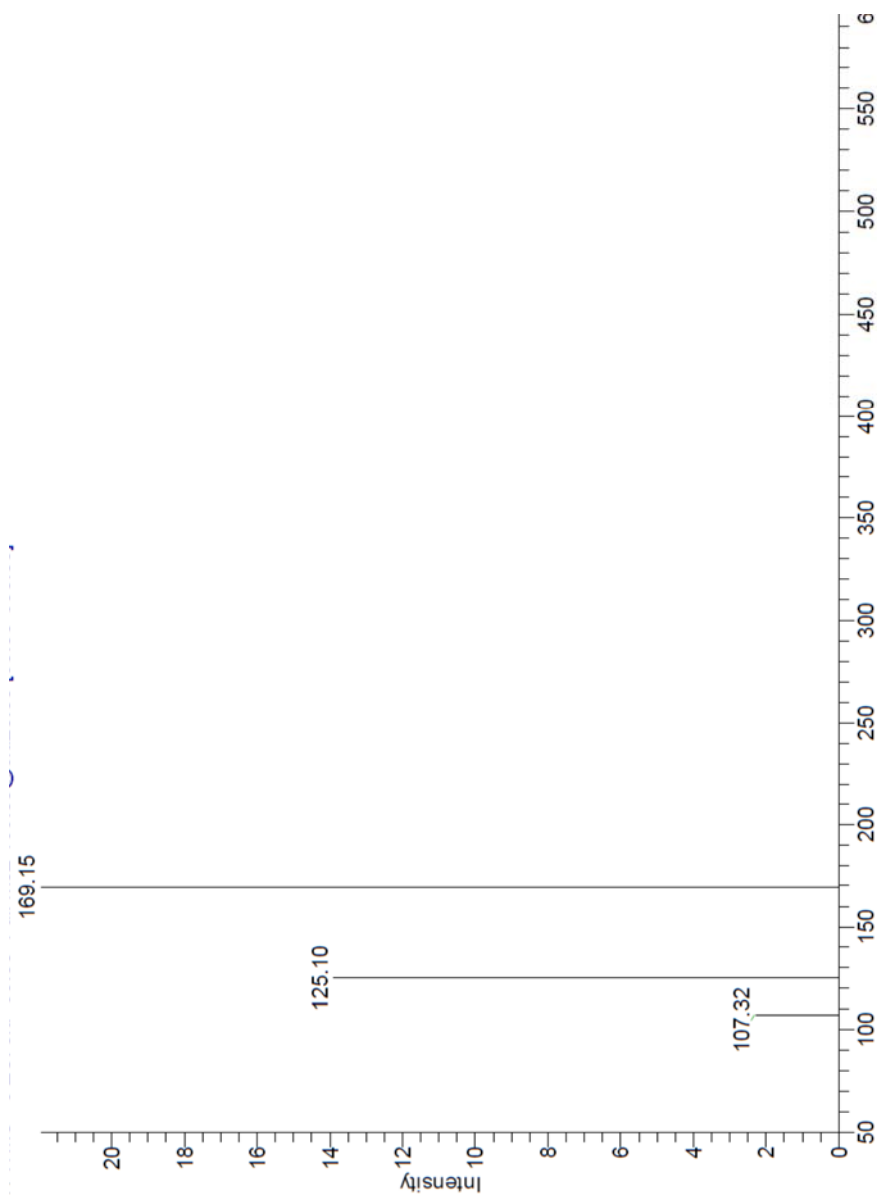


Figura 20S. Espectro de massas, pico do íon molecular m/z 169,15 $[M-H]^-$ e fragmentos MS^2 para o ácido gálico, presente nas frações FA 12, Spx 11, Spx 14, Spx 21 e Spx 37 de *E. flavescens*

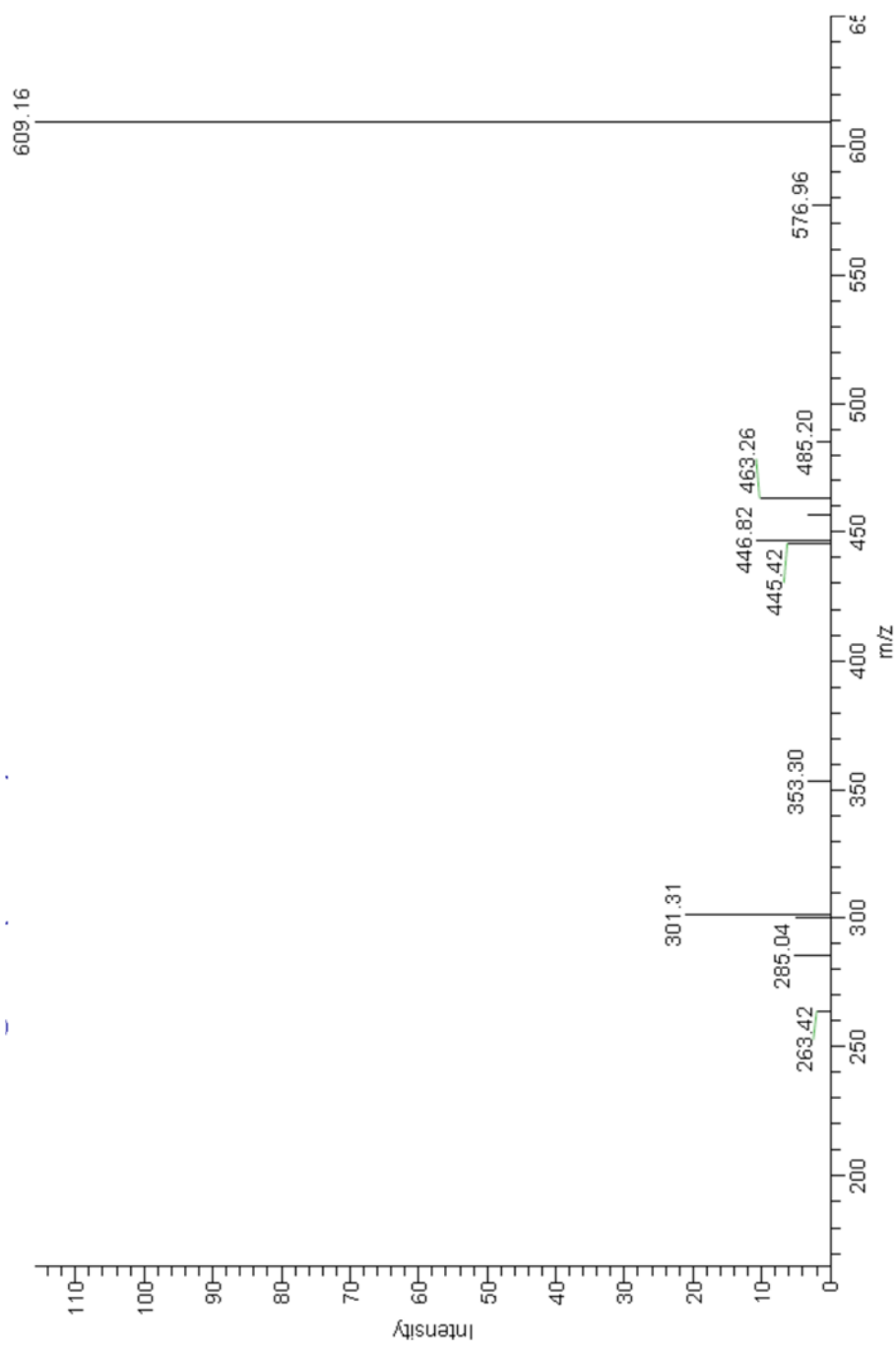


Figura 21S. Espectro de massas, pico do íon molecular m/z 609,16 $[M - H]^-$ e fragmentos MS^2 para a rutina presente nas frações FA 12 e Spx 21 de *E. flavescens*

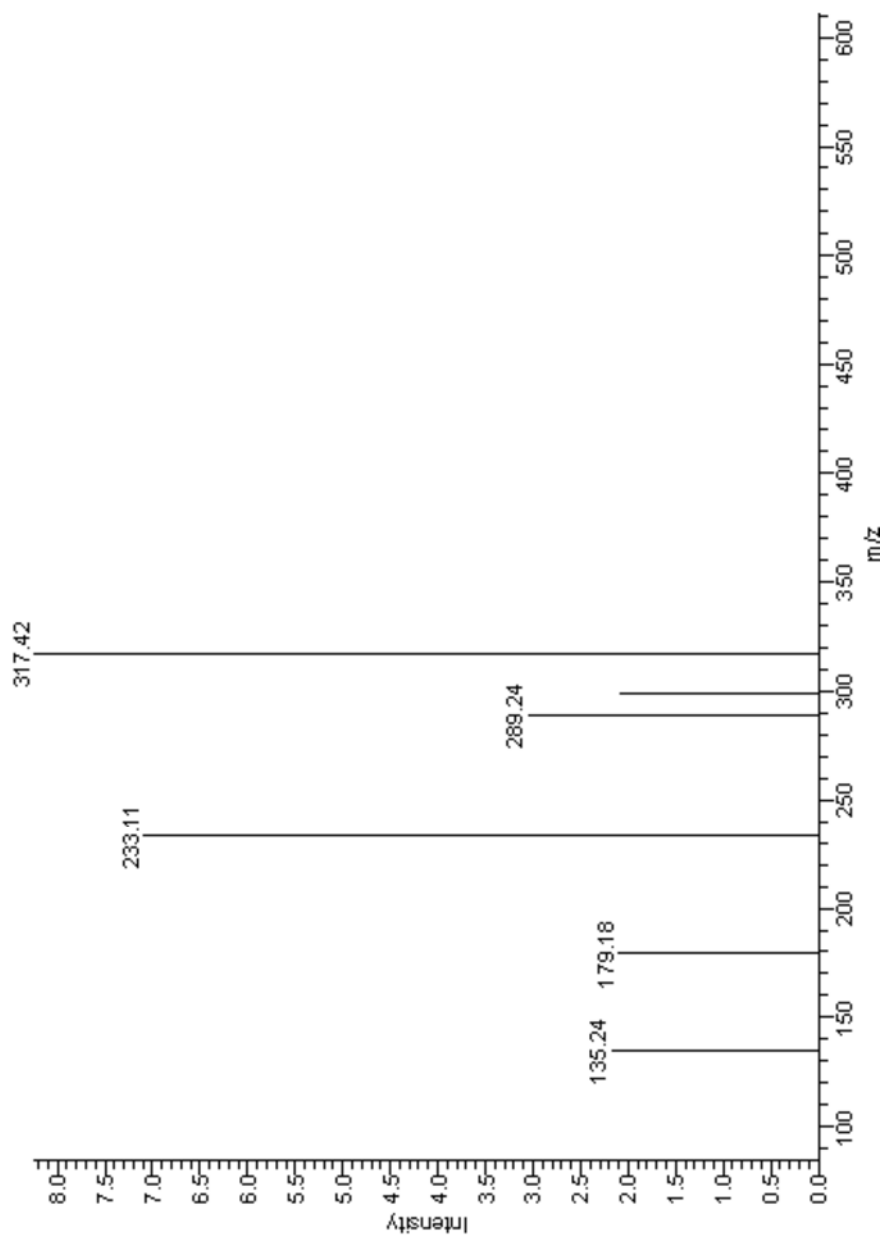


Figura 22S. Espectro de massas, pico do íon molecular m/z 317,42 $[M - H]^-$ e fragmentos MS^2 para a miricetina presente nas frações FA 12, Spx 11, Spx 14 e Spx 37 de *E. flavescens*

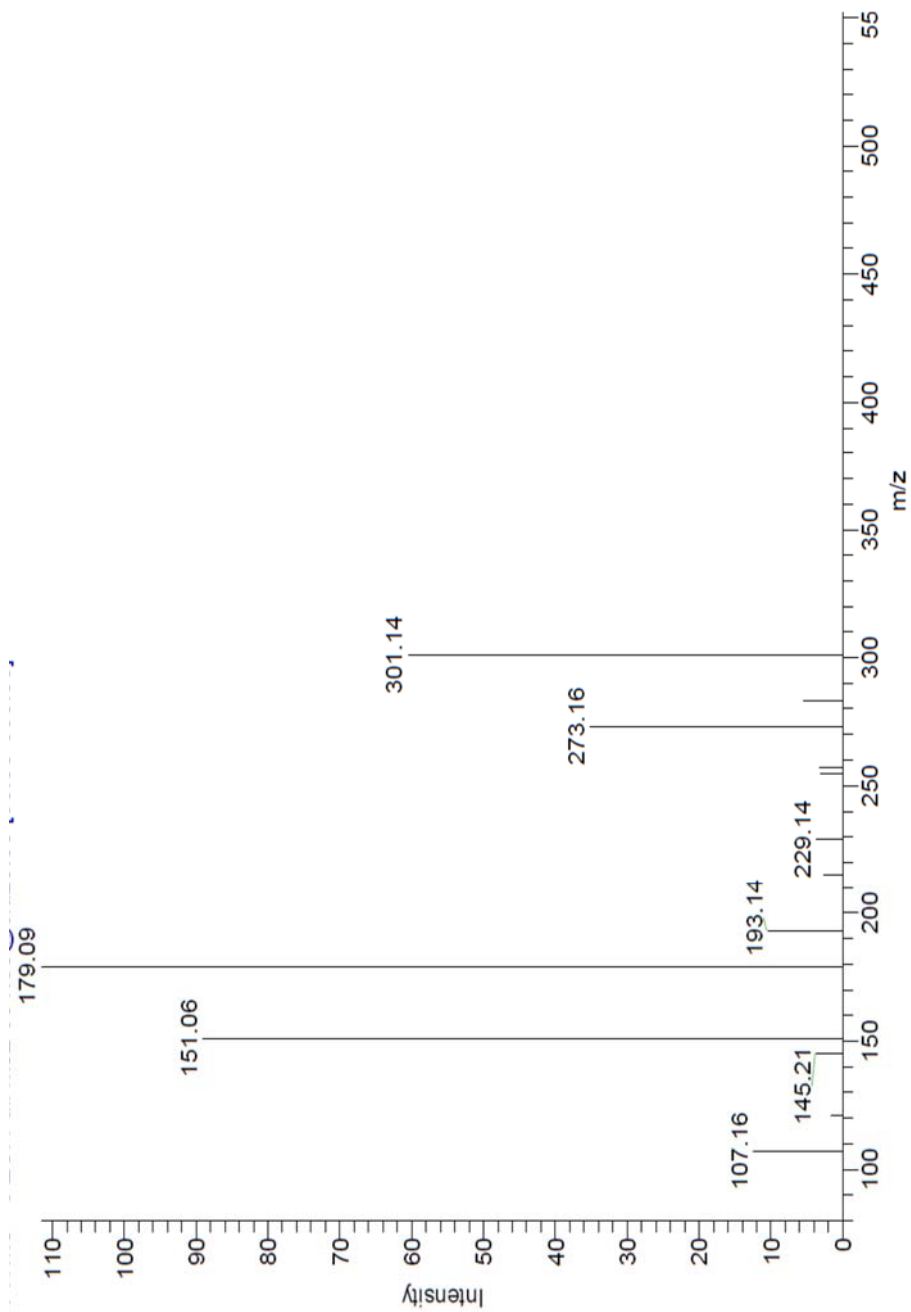


Figura 23S. Espectro de massas, pico do íon molecular m/z 301,14 $[M - H]^-$ e fragmentos MS^2 para a quercetina presente nas frações FA 12, Spx 11, Spx 21 e Spx 37 de *E. flavescens*

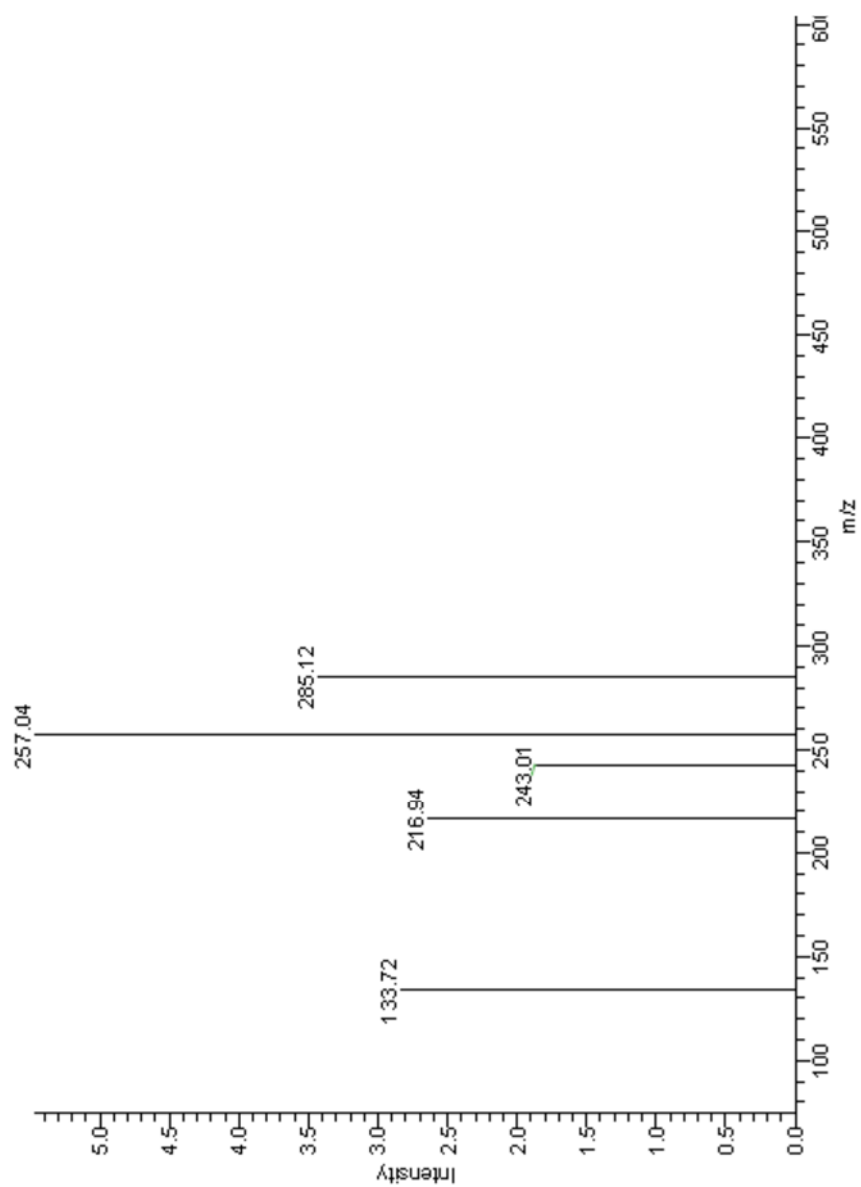


Figura 24S. Espectro de massas, pico do íon molecular m/z 285,12 $[M - H]^-$ e fragmentos MS^2 para o canferol presente nas frações Spx 11, Spx 14 e Spx 37 de *E. flavescens*

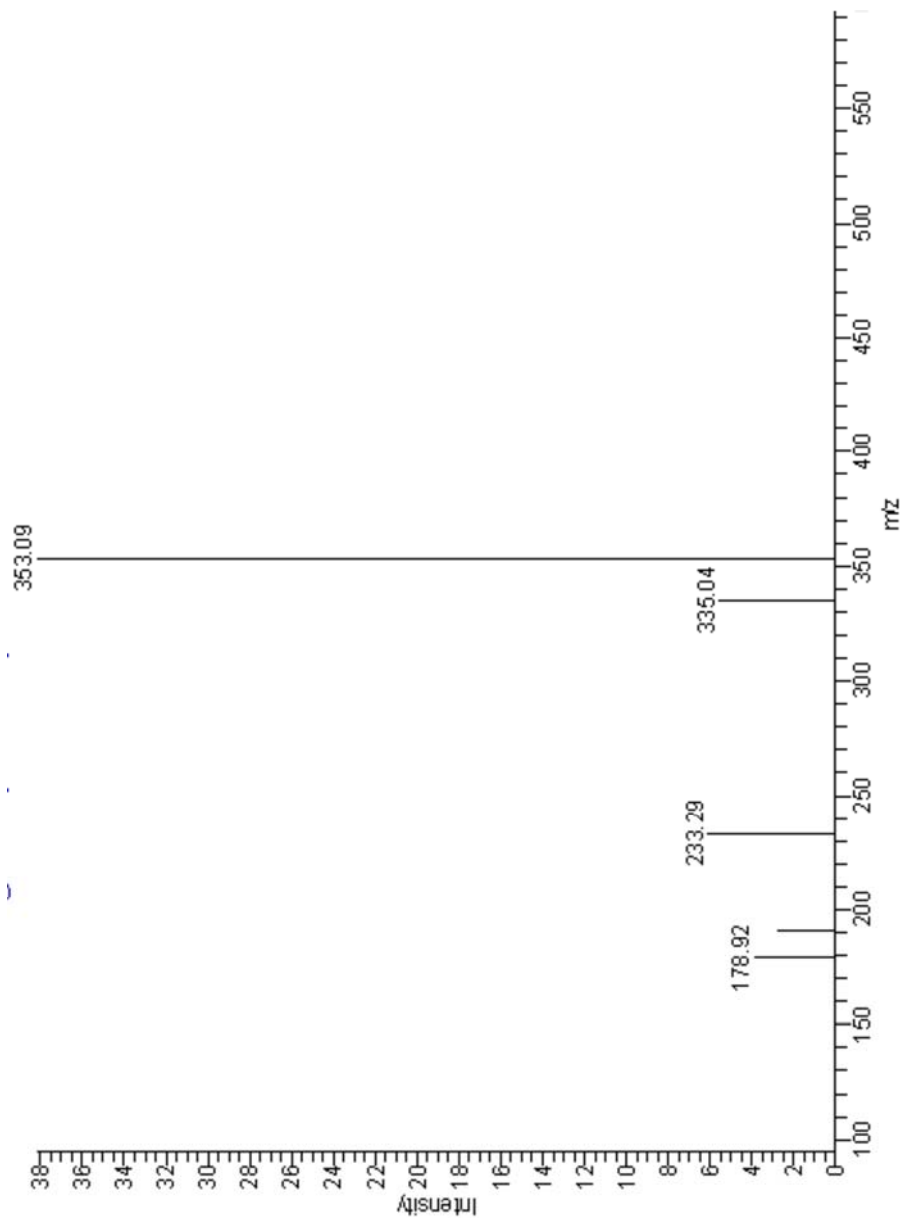


Figura 25S. Espectro de massas, pico do íon molecular m/z 353,09 $[M - H]^-$ e fragmentos MS^2 para o ácido clorogênico presente nas frações Spx 11, Spx 14 e Spx 21 de *E. flavescens*

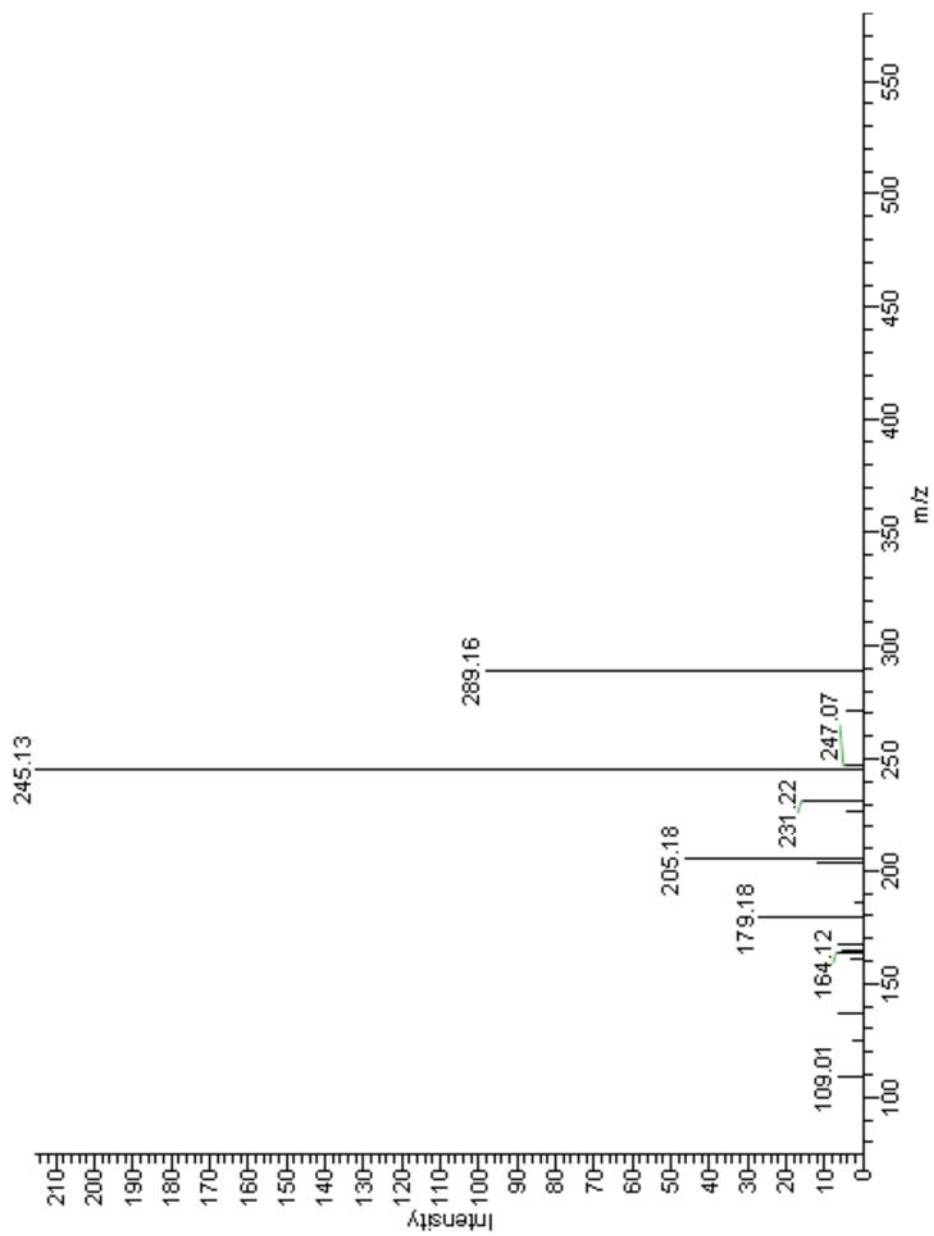


Figura 26S. Espectro de massas, pico do íon molecular m/z 289,16 $[M - H]^-$ e fragmentos MS^2 para a catequina presente nas frações Spx 14, Spx 21 e Spx 37 de *E. flavescens*

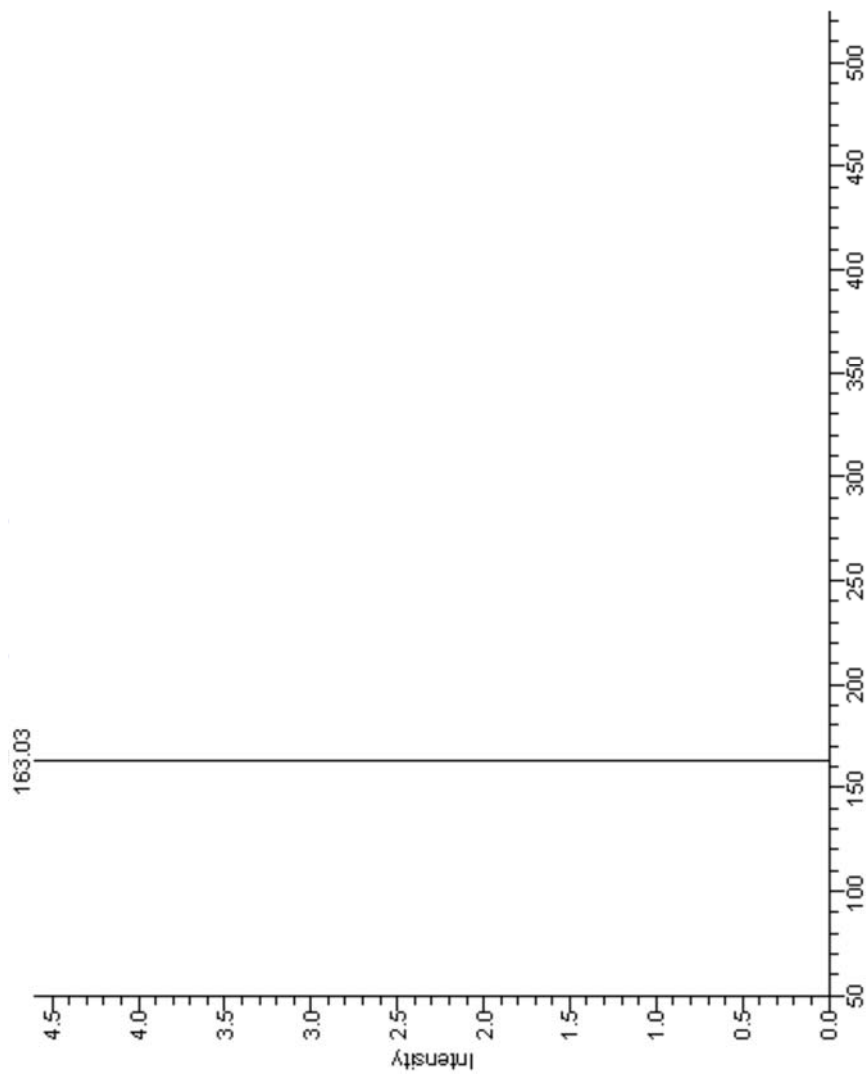


Figura 27S. Espectro de massas, pico do íon molecular m/z 163,03 $[M - H]^-$ para o ácido p-coumárico presente na fração Spx 37 de *E. flavescens*